

การอุปแห่งข้าวโพดในเครื่องอบแห้งแบบฟลูอด์ไดเซ็นทรัลฯ
ที่มีการสั่นสะเทือน



นายเกรียง มารค์ พญลร্য

วิทยานิพนธ์นี้เป็นส่วนหนึ่งของการศึกษาตามหลักสูตรปริญญาวิศวกรรมศาสตรมหาบัณฑิต

ภาควิชาวิศวกรรมเครื่องกล

บัณฑิตวิทยาลัย จุฬาลงกรณ์มหาวิทยาลัย

พ.ศ.2537

ISBN 974 - 584 - 927 - 8

ลิขสิทธิ์ของบัณฑิตวิทยาลัย จุฬาลงกรณ์มหาวิทยาลัย

工14041082

CORN DRYING IN MULTISTAGE VIBRATED FLUID-BED
FLUIDIZATION DRYER

MR. KASEM MAKPIBOON

A Thesis Submitted in Partial Fulfillment of Requirements

for the degree of Master of Engineering

Department of Mechanical Engineering

Graduate School

Chulalongkorn University

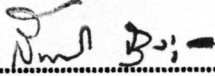
1994

ISBN 974 - 584 - 927 - 8

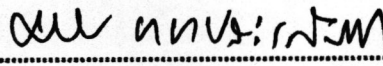
หัวข้อวิทยานิพนธ์ : การออกแบบช้าร์โอดในเครื่องอบแห้งแบบฟลูอิดไดเซ็นทรัลที่มีการสั่นสะเทือน
โดย : นาย เกษม มารคไฟบูลย์
ภาควิชา : วิศวกรรมเครื่องกล
อาจารย์ที่ปรึกษา : รองศาสตราจารย์ ดร. ฤทธิ์ ศิลป์บรรลุ

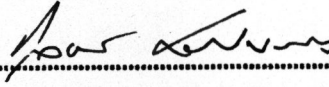


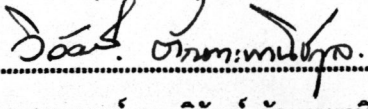
บัณฑิตวิทยาลัย จุฬาลงกรณ์มหาวิทยาลัย อนุมัติให้นับวิทยานิพนธ์ฉบับนี้เป็นส่วนหนึ่งของ
การศึกษาตามหลักสูตรปริญญามหาบัณฑิต

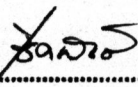

..... คณบดีบัณฑิตวิทยาลัย
(รองศาสตราจารย์ ดร. สันติ ถุงสุวรรณ)

คณะกรรมการสอบวิทยานิพนธ์


..... ประธานกรรมการ
(รองศาสตราจารย์ ดร. มนิจ ทองประเสริฐ)


..... อาจารย์ที่ปรึกษา
(รองศาสตราจารย์ ดร. วิรัชัย ชันทะพานิชกุล)


..... กรรมการ
(อาจารย์ ดร. เชิดพันธ์ วิวุฒารอน)


..... กรรมการ
(อาจารย์ ดร. เชิดพันธ์ วิวุฒารอน)



พิมพ์ต้นฉบับบทคัดย่อวิทยานิพนธ์ภายในกรอบสีเขียวนี้เพียงแผ่นเดียว

ເກມ ມຣຄໄພມລຍ : ກາຮອນແໜ້ງຂ້າວໂພດໃນເຄື່ອງອນແໜ້ງແບບຝຸລົດໄດ້ເຊັ່ນຫລາຍໜີ້ທີ່ມີການ
ສັນສະເໜືອນ (CORN DRYING IN MULTISTAGE VIBRATED FLUID-BED FLUIDIZA-
TION DRYER) ອາຈາຍທີ່ປະກາດ : ຮສ.ຄຣ.ກຸລທຣ ຄິລປນຣເລງ, 292 ໜ້າ.

ISBN 974 - 584 - 937 - 8

ວິທານິພນີ້ ມີວັດຖຸປະສົງຄົນໃນກາຮົມກິ່າວິທີພລຂອງຕັ້ງແປຣທີ່ມີຜລຕ່ອວັດກາຮອນແໜ້ງ ປະລິຫິ-
ກາພເຊີງຄວາມຮັນຂອງເຄື່ອງອນແໜ້ງແບບຝຸລົດໄດ້ເຊັ່ນຫລາຍໜີ້ທີ່ມີການສັນສະເໜືອນແລະກາຮົມກິ່າວິທີພລ
ກາຮົມກິ່າວິທີພລທີ່ມີການສັນສະເໜືອນເດືອນເພື່ອເປີຍແທນພລຈາກກາຮົມກິ່າວິທີພລ
ໃນເຄື່ອງອນແໜ້ງແບບຝຸລົດໄດ້ເຊັ່ນຫລາຍໜີ້ທີ່ມີການສັນສະເໜືອນ ໂດຍໃນງານຈິ່າຍນີ້ໄດ້ທຳກາຮົມກິ່າວິທີພລ
ແລະກາຮົມກິ່າວິທີພລທີ່ມີການສັນສະເໜືອນ ໃນກາຮົມກິ່າວິທີພລໃນເຄື່ອງອນ-
ແໜ້ງແບບຝຸລົດໄດ້ເຊັ່ນຫລາຍໜີ້ທີ່ມີການສັນສະເໜືອນແໜ້ງຈະມີຮູບທຽບສີເໜ້ອມທຳດ້ວຍໂລກ
ມີ້ນາຄຄວາມຍາວ
ຂອງເບັດ 50 ເຊັນຕິເມຕຣ ຄວາມກວ້າງຂອງເບັດ 20 ເຊັນຕິເມຕຣ ສູງ 25 ເຊັນຕິເມຕຣ (ສໍາຮັບເຄື່ອງອນແໜ້ງ
ແບບຝຸລົດໄດ້ເຊັ່ນຫລາຍໜີ້ທີ່ມີການສັນສະເໜືອນ) ໂດຍກາຍໃນຈະແປ່ງເປັນຫັນ ຈະ
ໄວ້ຫັນລະ 25 ເຊັນຕິເມຕຣ ແລະມີຮະບນສັນສະເໜືອນແບບເຢື້ອງສູນຍົງ ໂດຍໃໝ່ມອເຕອຣໜັງລູກເບີຍວ ເມັດຂ້າວ-
ໂພດທີ່ໃໝ່ໃນກາຮົມກິ່າວິທີພລ ມີການຂຶ້ນເຮີມຕົ້ນປະມາດຮ້ອຍລະ 25 ໂດຍນ້ຳໜັກເປີຍກ ມີອັດກາຮົມບ້ອນຂ້າວໂພດໃນ
ຂ່າວ 10-60 ກິໂລກຮັມຕ່ອງຂ້າວໂພດ ອຸດຫຼຸມອາກາສຮ້ອນເຂົ້າເຄື່ອງອນແໜ້ງໃນຂ່າວ 60-80 ອົງສ່າເຊົ່າເຢີສ
ຄວາມເຮົວວາກາສຮ້ອນເຂົ້າເຄື່ອງອນແໜ້ງໃນຂ່າວ 2.50 - 3.25 ເມຕຣຕ່ວິນາທີ ແລະອັດກາຮົມສັນສະເໜືອນ
ຂອງເຄື່ອງອນແໜ້ງອູ້ໃນຂ່າວ 200-400 ຮອບຕ່ອນາທີ ສ່ວນແບນຈຳລອງທາງຄົມຄສຕຣທີ່ໃໝ່ໃນກາຮົມກິ່າວິທີພລ
ແລະກາຮົມກິ່າວິທີພລນີ້ ຈະອາຍ້ຫລັກກາຮ່າຍເທົວມ່ວນທີ່ເກີດຂຶ້ນ ໂດຍມີເຈື່ອນໃຫ້ແປ່ງຂ່າວກາຮອນແໜ້ງອອກ
ເປັນ 2 ຂ່າວ ຄື່ອ ຂ່າວກາຮອນແໜ້ງທີ່ອັດກາຮະເຫັນການຂຶ້ນຄົງທີ່ແລະຂ່າວທີ່ອັດກາຮະເຫັນການຂຶ້ນລດລົງ

ຈາກພລກາຮົມພວບວ່າ ພລກາຮົມກິ່າວິທີພລໂດຍໃໝ່ໂປຣແກຣມກຳນວດນັ້ນຈະໄດ້ຜລທາງ
ກາຮົມກິ່າວິທີພລທີ່ມີຜລອອກນາໄກລ໌ເຄີຍກັບກາຮົມກິ່າວິທີພລຂອງມາກ ສໍາຮັບອິທີພລຂອງຕັ້ງແປຣທີ່ມີຜລຕ່ອວັດກາຮອນແໜ້ງກີ່
ອຸດຫຼຸມແລະຄວາມເຮົວວາກາສຮ້ອນ ອັດກາຮົມສັນສະເໜືອນຂອງເຄື່ອງອນແໜ້ງ ອັດກາຮົມບ້ອນຂ້າວໂພດ ແລະ
ສັນປະລິຫິກາພເຊີງກາຮົມກິ່າວິທີພລ ສ່ວນອິທີພລຂອງຕັ້ງແປຣທີ່ມີຜລຕ່ອປະລິຫິກາພເຊີງຄວາມຮັນກີ່
ຄວາມເຮົວວາກາສຮ້ອນ ອັດກາຮົມສັນສະເໜືອນຂອງເຄື່ອງອນແໜ້ງ ອັດກາຮົມບ້ອນຂ້າວໂພດແລະສັນປະລິຫິກາພ
ດໍາຍເທົວມ່ວນແລະມວລສາຮ

ການວິຊາ ວິທີກຣມເຄື່ອງກລ
ສາຂາວິຊາ ວິທີກຣມເຄື່ອງກລ
ປັກກາຮົມ 2537

ລາຍນີ້ອ້ອນສິຕີ
ລາຍນີ້ອ້ອນອາຈາຍທີ່ປະກາດ
ລາຍນີ້ອ້ອນອາຈາຍທີ່ປະກາດຮ່ວມ



C415683 : MAJOR MECHANICAL ENGINEERING

KEY WORD: CORN / VIBRATED FLUID-BED / FLUIDIZATION DRYER

KASEM MAKPIBOON : CORN DRYING IN MULTISTAGE VIBRATED FLUID-BED

FLUIDIZATION DRYER. THESIS ADVISOR : ASSOC.PROF.KULTHORN SILPABANLANG

, Ph.D. 292 pp. ISBN 974-584-927-8

The objectives of this research are to find out the variables which affect the drying rate, thermal efficiency of the multistage vibrated fluid-bed fluidization dryer and to develop a computer programme which can be used predictions of drying results obtained from a single stage dryer with vibration. The experimental results from the single-stage corn drying are compared with those predicted from the computer programme where as those obtained from the multistage vibrated fluid-bed fluidization are also presented. The dryer is of square shaped and made from steel sheet metal. The size of bed is 50 cm long, 20 cm. wide, 25 cm. high for single stage and 100 cm. high for multistage version respectively. There are 4 stages inside the multistage model. The eccentric vibrated system is used in this dryer and is driven by motor. Corn seeds used in experiment have about 25 percents initial moisture content by wet weight. The range of corn feed rate is 10-60 kg/hr. The temperature of hot air is varied from 60-80 C. The velocity of hot air is varied from 2.50-3.25 m/s, with vibration intensity ranging from 200-400 rpm. The basis for the formulation of the math model for this computer programme is to employ the energy equation with the condition that the drying rate is divided into 2 zones namely the constant drying rate and the decreased drying rate ones.

From the experiments, the results from the computer programme compared favourably with the results from series of experiments. The experimental results indicated that the variables affecting the rate of drying were entering temperature, velocity of hot air, corn feed rate, intensity of vibration and coefficients of heat and mass transfer. It was also found that the variables directly affecting the dryer's thermal efficiency are inlet velocity of hot air, corn feed rate, intensity of vibration and coefficients of heat and mass transfer.

ภาควิชา วิศวกรรมเครื่องกล

ลายมือชื่อนิสิต

สาขาวิชา วิศวกรรมเครื่องกล

ลายมือชื่ออาจารย์ที่ปรึกษา

ปีการศึกษา 2537

ลายมือชื่ออาจารย์ที่ปรึกษาร่วม

กิตติกรรมประกาศ



ผู้เชี่ยนขอขอบพระคุณท่านอาจารย์ที่ปรึกษา รองศาสตราจารย์ ดร. กลุ่ม ศิลป์บูรณะ ที่ท่านได้กຽณาสละเวลาให้คำแนะนำ คำปรึกษาและให้ข้อคิดเห็นที่เป็นประโยชน์ เกี่ยวกับการดำเนินงานและใน การแก้ปัญหาอย่างมาก ตลอดเวลาในการทำวิจัย งานนี้สำคัญสูงไปด้วยดี และขอแสดงถึงความกรุณา ของรองศาสตราจารย์ ดร. มนัส ทองประเสริฐ ที่ได้กຽณาแนะนำด้านการออกแบบอุปกรณ์บางส่วนของ เครื่องอุปกรณ์ ศาสตราจารย์ ดร. วิวัฒน์ ตันตะพานิชกุล ที่ได้กຽณาแนะนำการวิเคราะห์แบบจำลองทาง คณิตศาสตร์และเงื่อนไขในการอุปกรณ์ อาจารย์ ดร. เชิดพันธ์ วิจารวนัน ที่ได้กຽนาแนะนำขั้นตอนในการ ทำการทดลอง ซึ่งเป็นประโยชน์อย่างยิ่งต่อการวิจัยในครั้งนี้ พร้อมกันนี้ ผู้เชี่ยนขอแสดงความขอบคุณ นายกมล พุ่มคนตระ และนายสุบิน ขันดี ผู้ซึ่งได้มีอ่านวยความช่วยเหลือด้านการสร้างอุปกรณ์และการทำการทดลอง

อัน ผู้เชี่ยนขอทราบขอขอบพระคุณ บิดา มารดา ที่ได้เป็นกำลังใจและสนับสนุนช่วยเหลือทุกสิ่ง อันเป็นผลให้งานวิจัยสำเร็จด้วยดีมา ณ ที่นี้ด้วย



สารบัญ

หน้า

บทคัดย่อภาษาไทย	๑
บทคัดย่อภาษาอังกฤษ	๒
กิตติกรรมประกาศ	๓
สารบัญตาราง	๔
สารบัญภาพ	๕
คำอธิบายสัญลักษณ์และคำย่อ	๖
บทที่ 1 บทนำ	๑
1.1 สาเหตุและที่มาของปัญหา	๑
1.2 การสำรวจงานวิจัยที่เกี่ยวข้อง	๔
1.3 วัตถุประสงค์ของงานวิจัย	๑๑
1.4 ขอบเขตของงานวิจัย	๑๑
1.5 ประโยชน์ที่คาดว่าจะได้รับ	๑๑
1.6 ขั้นตอนการดำเนินงานวิจัย	๑๒
บทที่ 2 ทฤษฎี	๑๓
2.1 พลูอิดไดเซร์น	๑๓
2.2 ความรู้พื้นฐานเกี่ยวกับการอบแห้ง	๒๑
2.3 แบบจำลองทางคณิตศาสตร์ในการอบแห้งเมล็ดพืช	๒๗
2.4 คุณสมบัติทางกายภาพของข้าวโพด	๓๒
2.5 การคำนวณประสิทธิภาพเชิงความร้อน	๓๕
2.6 ปัจจัยที่มีผลต่อประสิทธิภาพเชิงความร้อน	๓๕
บทที่ 3 เครื่องมือที่ใช้ในงานวิจัย	๓๙
3.1 เครื่องมือการทดลองอบแห้งข้าวโพดในเครื่องอบแห้งแบบพลูอิดไดเซร์น เพื่อหาค่าความชื้นของข้าวโพดที่เวลาต่างๆ	๓๙
3.2 เครื่องมือการทดลองอบแห้งข้าวโพดในเครื่องอบแห้งแบบพลูอิดไดเซร์น ขั้นเดียวที่มีการสั่นสะเทือนเชิงกล	๔๐

3.3 เครื่องมือการทดลองอบแห้งร้าวโพดในเครื่องอบแห้งแบบฟลูอิดไดเซ็น helyxianที่มีการสั่นสะเทือนเชิงกล	40
บทที่ 4 วิธีการทดลอง	50
4.1 การทดลองอบแห้งร้าวโพดในเครื่องอบแห้งแบบฟลูอิดไดเซ็น เพื่อหาค่าความชื้นร้าวโพดที่เวลาต่างๆ	50
4.2 การสร้างโปรแกรมคอมพิวเตอร์กำหนดการอบแห้ง	51
4.3 การทดลองอบแห้งร้าวโพดในเครื่องอบแห้งแบบฟลูอิดไดเซ็น ขั้นเดียวที่มีการสั่นสะเทือนเชิงกล	52
4.4 การทดลองอบแห้งร้าวโพดในเครื่องอบแห้งแบบฟลูอิดไดเซ็น helyxianที่มีการสั่นสะเทือนเชิงกล	52
บทที่ 5 ผลการทดลอง	53
5.1 ผลการทดลองอบแห้งร้าวโพดในเครื่องอบแห้งแบบฟลูอิดไดเซ็น เพื่อหาค่าความชื้นร้าวโพดที่เวลาต่างๆ	53
5.2 โปรแกรมคอมพิวเตอร์กำหนดการอบแห้ง	53
5.3 ผลการทดลองอบแห้งร้าวโพดในเครื่องอบแห้งแบบฟลูอิดไดเซ็น ขั้นเดียวที่มีการสั่นสะเทือนเชิงกล	53
5.4 ผลการทดลองอบแห้งร้าวโพดในเครื่องอบแห้งแบบฟลูอิดไดเซ็น helyxianที่มีการสั่นสะเทือนเชิงกล	53
บทที่ 6 วิจารณ์และสรุปผลการทดลอง	72
6.1 การวิจารณ์ผลการทดลอง	72
6.2 การสรุปผลการทดลอง	94
6.3 ข้อเสนอแนะ	96
เอกสารอ้างอิง	97
ภาคผนวก ก	100
ภาคผนวก ข	112
ภาคผนวก ค	188

ภาคผนวก ๓	193
ภาคผนวก ๔	215
ภาคผนวก ๕	270
ภาคผนวก ๖	274
ประจำผู้เรียน	292

สารบัญตาราง

ตารางที่	หน้า
2.1 แสดงค่าคงที่ในการคำนวณค่าสัมบูรณ์ของร้าวโพด	33
2.2 แสดงความสัมพันธ์ระหว่างอุณหภูมิที่ใช้อบแห้งร้าวโพดและปริมาณแป้งที่เมื่อยูในร้าวโพด	37
2.3 แสดงความสัมพันธ์ระหว่าง Volume Shrinkage ที่เกิดขึ้นกับร้าวโพด เมื่ออบแห้งร้าวโพดที่มีความชื้นต่างๆ กันจนเหลือความชื้นร้อยละ 12	38
5.1-5.3 แสดงผลการอบแห้งร้าวโพดเพื่อหาค่าความชื้นร้าวโพดที่เวลาต่างๆ	55
5.4-5.10 แสดงผลการทดลองอบแห้งร้าวโพดในคร่องอบแห้งแบบฟลูอิดไดเซร์นชันเดียวที่มีการสั่นสะเทือนเชิงกล	58
5.11-5.17 แสดงผลการทดลองอบแห้งร้าวโพดในคร่องอบแห้งแบบฟลูอิดไดเซร์นหลายชั้นที่มีการสั่นสะเทือนเชิงกล	65
๗.1-๗.63 แสดงผลการคำนวณการอบแห้งร้าวโพดโดยใช้โปรแกรมคอมพิวเตอร์	113
๗.64-๗.84 แสดงผลการทดลองอบแห้งร้าวโพดในคร่องอบแห้งแบบฟลูอิดไดเซร์นชันเดียวที่มีการสั่นสะเทือนเชิงกล	146
๗.85-๗.105 แสดงผลการทดลองอบแห้งร้าวโพดในคร่องอบแห้งแบบฟลูอิดไดเซร์นหลายชั้นที่มีการสั่นสะเทือนเชิงกล	167
๙.1-๙.21 แสดงผลการวิเคราะห์จากการที่ ๗.85-๗.105	194
๙.1-๙.12 แสดงผลการวิเคราะห์อัตราการเปลี่ยนแปลงความชื้นร้าวโพดเทียบกับเวลาที่ความชื้นร้าวโพดต่างๆ	274

สารบัญภาพ

รูปที่

หน้า

1.1	เครื่องอบแห้งเมล็ดพืชของกองเกษตรวิศวกรรม	4
1.2	เครื่องฟลูอิดไดเซ็นสำหรับการอบแห้งเมล็ดพืช	5
1.3	เครื่องอบแห้งฟลูอิดไครซ์แบบไม่ต่อเนื่อง	6
1.4	เครื่องอบแห้งฟลูอิดไครซ์แบบต่อเนื่อง	6
1.5	เครื่องอบแห้งเมล็ดข้าวโพดแบบฟลูอิดไครซ์เบดชั้นเดียว	7
1.6	เครื่องอบแห้งฟลูอิดไครซ์เบดแบบ 2 ชั้น	8
1.7	เครื่องอบแห้งฟลูอิดไครซ์เบด 3 ชั้น ที่มีการสั่นสะเทือน	9
2.1	แสดงระดับของเบดในห้องทดลอง	13
2.2	ผลการทดลองที่ใช้เมล็ดข้าวโพดและเมล็ดถั่วเชีย	20
2.3	ความสัมพันธ์ระหว่างการวัดความชื้นโดยมาตรฐานต่างกัน	21
2.4	ปริมาณความชื้นสมดุลย์ของเมล็ดข้าวโพดที่อุณหภูมิต่างๆ	23
2.5	เส้นความชื้นสมดุลย์ของวัสดุต่างๆที่อุณหภูมิ 25 องศาเซลเซียส	23
2.6	การเข้าสู่สมดุลย์สำหรับเมล็ดพืช	24
2.7	ความสัมพันธ์ระหว่างอัตราส่วนความชื้นและอุณหภูมิ	24
2.8	เส้นลักษณะเฉพาะของกระบวนการอบแห้ง	26
2.9	ปริมาณน้ำคงค้าง	27
2.10	แสดงช่วงการระเหยที่ผิววัสดุ	28
2.11	แสดงช่วงการเพิ่มอุณหภูมิของวัสดุ	31
2.12	ความต้านทานต่างๆที่เกิดขึ้นต่อการถ่ายเทความร้อนและมวลสารในการอบแห้ง ..	37
3.1	แสดงอุปกรณ์การทดลองหากค่าความชื้นข้าวโพดที่เวลาต่าง	42
3.2	แสดงอุปกรณ์การทดลองอบแห้งข้าวโพดในเครื่องอบแห้งแบบฟลูอิดไดเซ็น ที่มีการสั่นสะเทือนเชิงกล	43
3.3	เมล็ดข้าวโพดที่จัดเตรียมไว	44
3.4	เครื่องอบแห้งข้าวโพดแบบฟลูอิดไดเซ็นหลายชั้นที่มีการสั่นสะเทือน	44

3.5	เครื่องป้อนเมล็ดข้าวโพด	45
3.6	อุปกรณ์สันสะเทือนเรืองกล	45
3.7	เครื่องเป่าอากาศ	46
3.8	อุปกรณ์ปั้นกรอบมอเตอร์	46
3.9	เครื่องซีงน้ำหนัก	47
3.10	เตาอบไฟฟ้า	47
3.11	ชุดวัดและแสดงอุณหภูมิ	48
3.12	ชุดวัดอัตราการไฟหลังของอากาศ	48
3.13	เครื่องวัดความชื้นแบบ Dole 400	49
5.1	แสดงขั้นตอนการทำงานของโปรแกรมคอมพิวเตอร์	54
6.1-6.3	แสดงความสัมพันธ์ระหว่างความชื้นของข้าวโพดในระหว่างการอบแห้งกับเวลา ..	80
6.4-6.12	แสดงการเปลี่ยนเทียบผลการทดลองอบแห้งข้าวโพดกับผลจากการคำนวณ ..	83
6.13-6.19	แสดงความสัมพันธ์ระหว่างประสิทธิภาพเชิงความร้อนของเครื่องอบแห้ง กับอัตราการป้อนข้าวโพด	88
6.20-6.22	แสดงความสัมพันธ์ระหว่างประสิทธิภาพเชิงความร้อนของเครื่องอบแห้ง กับความเร็วอากาศครัวน	92
7.1-7.63	แสดงการเปลี่ยนเทียบผลการทดลองอบแห้งข้าวโพดกับผลจากการคำนวณ ..	216
7.64-7.93	แสดงความสัมพันธ์ระหว่างประสิทธิภาพเชิงความร้อนของเครื่องอบแห้งกับ อัตราการป้อนข้าวโพด , อัตราการป้อนข้าวโพด , ความเร็วอากาศครัวน, อุณหภูมิอากาศครัวน และอัตราการสันสะเทือนของเครื่องอบแห้ง	252
7.1-7.12	แสดงความสัมพันธ์ระหว่างอัตราการเปลี่ยนแปลงความชื้นข้าวโพดกับเวลา ที่ความชื้นข้าวโพดต่างๆ	280



คำอธิบายสัญลักษณ์และค่าอย่าง

- a_0 - ครึ่งหนึ่งของช่วงความสูงของอัตราการสั่นสะเทือน , (m)
- A - พื้นที่ภาคตัดขาดของเบด , (m^2)
- Ac - พื้นที่ภาคตัดขาดของเบดในช่วงอัตราการตอบแท้ที่ความเร็วคงที่ , (m^2)
- AD - พื้นที่ภาคตัดขาดของเบดในช่วงที่อัตราการตอบแท้ที่ความเร็วลดลง , (m^2)
- Ap - พื้นที่ผิวของเม็ดของแม็ปเปิลเดีย , (m^2)
- C_{GM} - ความจุความร้อนจำเพาะเฉลี่ยของอากาศร้อน , ($J/kg.K$)
- C_{PM} - ความจุความร้อนจำเพาะเฉลี่ยของห้าวโพด , ($J/kg.K$)
- C_W - ความจุความร้อนจำเพาะน้ำ , ($J/kg.K$)
- D_p - ขนาดเส้นผ่าศูนย์กลางของอนุภาค , (m)
- g_C - ความเร่งเนื่องจากแรงโน้มถ่วงของโลก , (m/hr^2)
- G_p - อัตราการไหลเชิงมวลของอนุภาคซึ่น , ($kg/m^2.hr$)
- G_G - อัตราการไหลเชิงมวลของอากาศซึ่น , ($kg/m^2.hr$)
- h - ความสูงของเบด , (m)
- h_{fg} - ความร้อนแฝงในการระเหยน้ำอิสระ , (J/kg)
- $h'fg$ - ความร้อนแฝงในการระเหยน้ำในห้าวโพด , (J/kg)
- H_G - ปริมาณความชื้นในอากาศ , ($kgH_2O/kgdry air$)
- hp - ค่าสัมประสิทธิ์การถ่ายเทความร้อน , ($J/m^2.hr.K$)
- k - ค่าสัมประสิทธิ์การนำความร้อน , ($J/m.hr.K$)
- L - ความยาวของเบด , (m)
- L_{MF} - ความสูงของเบดที่ความเร็วต่ำสุดของการรีเมกเกิดฟลูอิดไดเรชัน , (m)
- L_c - ความยาวของเบดช่วงอัตราการตอบแท้ที่ความเร็วคงที่ , (m)
- L_D - ความยาวของเบดช่วงอัตราการตอบแท้ที่ความเร็วลดลง , (m)
- Nup - ตัวเลขไรมิติ Nusselt
- Pr - ตัวเลขไรมิติ Prandtl
- P - ค่าความดันตกในฟลูอิดไดร์บด , (mm. H_2O)

- Re_p** - ตัวเลขเรย์โนลด์ Reynold
R - ค่าคงที่ของอากาศ เท่ากับ 8.314 ,(kJ/kmol.K)
RH - ความชื้นสัมพัทธ์ของอากาศ , (%)
S_p - พื้นที่ผิวจราษฎร์ของอนุภาค , (m^2/m^3)
T_{db} - อุณหภูมิการเปลี่ยนแปลง , (°C)
T_{wb} - อุณหภูมิการเปลี่ยนแปลง , (°C)
T_p - อุณหภูมิของอนุภาค , (°C)
T_G - อุณหภูมิของอากาศ , (°C)
U_G - ความเร็วอากาศครัวน้ำที่ไม่มีผลจากการบลันส์สะเทือนเชิงกล , (m/hr)
U_{G*} - ความเร็วอากาศครัวน้ำที่เพิ่มขึ้นเนื่องจากการบลันส์สะเทือนเชิงกล , (m/hr)
U_{MF} - ความเร็วต่ำสุดของไอลที่เริ่มเกิดฟลูอิดไดเซ็น , (m/hr)
U_p - ความเร็วเชิงเส้นของอนุภาค , (m/hr)
U_{G1} - ความเร็วของอากาศครัวน้ำทั้งหมดในขณะที่มีระบบบลันส์สะเทือนเชิงกล , (m/hr)
V_p - ปริมาตรของเม็ดของแข็งเม็ดเดียว , (m^3)
W_p - อัตราการป้อนเม็ดเข้าไปในเครื่อง , (kg/hr)
w_d - ความชื้นของวัสดุ , (kg water/kg dry solid)
w_w - ความชื้นของวัสดุ , (kg water/kg wet solid)
w - ความชื้นของอนุภาค , (%)
w_{eq} - ความชื้นสมดุลย์ของอนุภาค , (%)
x - ความกว้างของเบต , (m)
ε - ช่องว่างภายในเบต
ε_{MF} - อัตราส่วนว่างภายในเบตที่ความเร็วต่ำสุดของการเริ่มเกิดฟลูอิดไดเซ็น
ρ_p - ความหนาแน่นของอนุภาค , (kg/m³)
ρ_G - ความหนาแน่นของอากาศ , (kg/m³)
ρ_T - ความหนาแน่นจริงของเข้าไปในเบต , (kg/m³)
ρ_B - ความหนาแน่นปราภูของเข้าไปในเบต , (kg/m³)
θ - มุมเอียงของเบต , (°)
γ - อัตราการสั่นสะเทือน , (rpm)

μ - ค่าความหนืดของอากาศ , (kg/m.hr)

Γ - ตัวแปรรีมิติ

η - ประสิทธิภาพเริงความร้อน , (%)

ตัวทอยท้าย (Subscript)

i - เช้า

o - อวก

P - อัตราการ

G - อากาศ